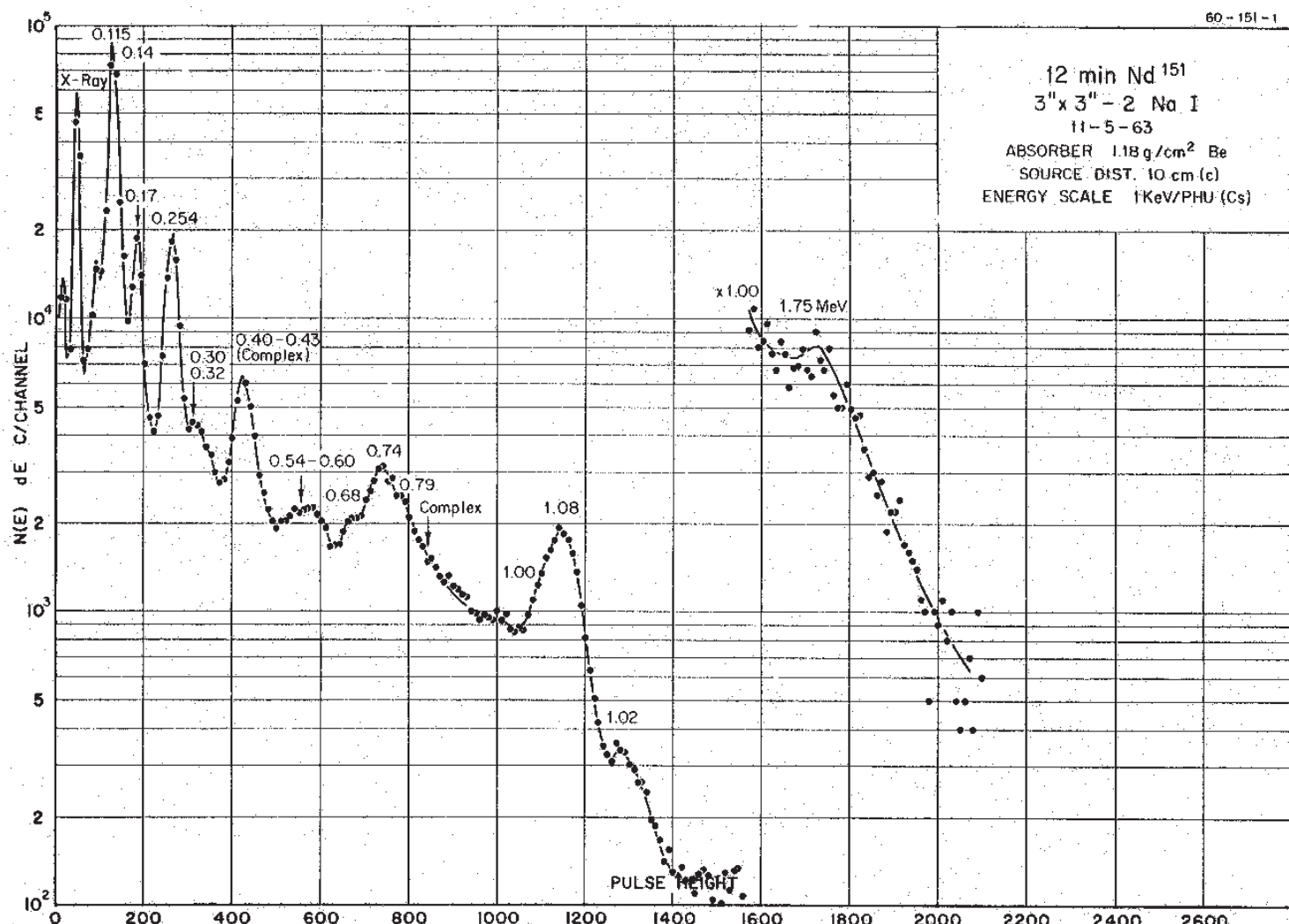
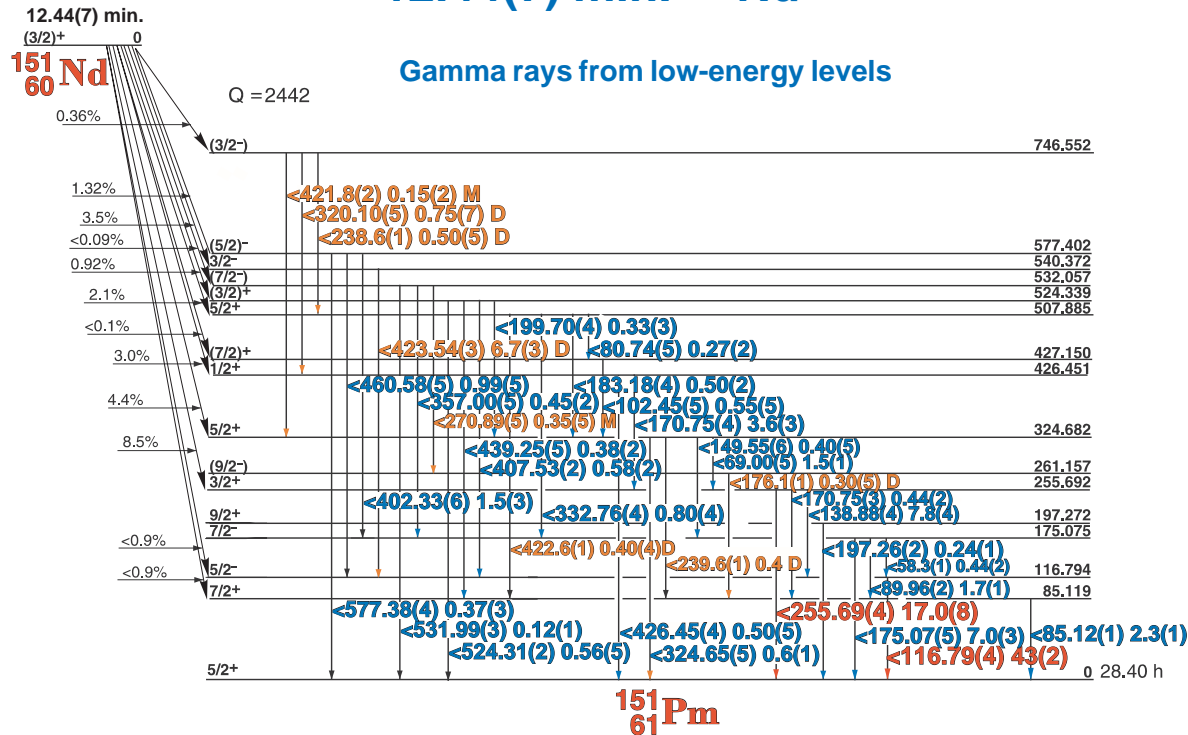
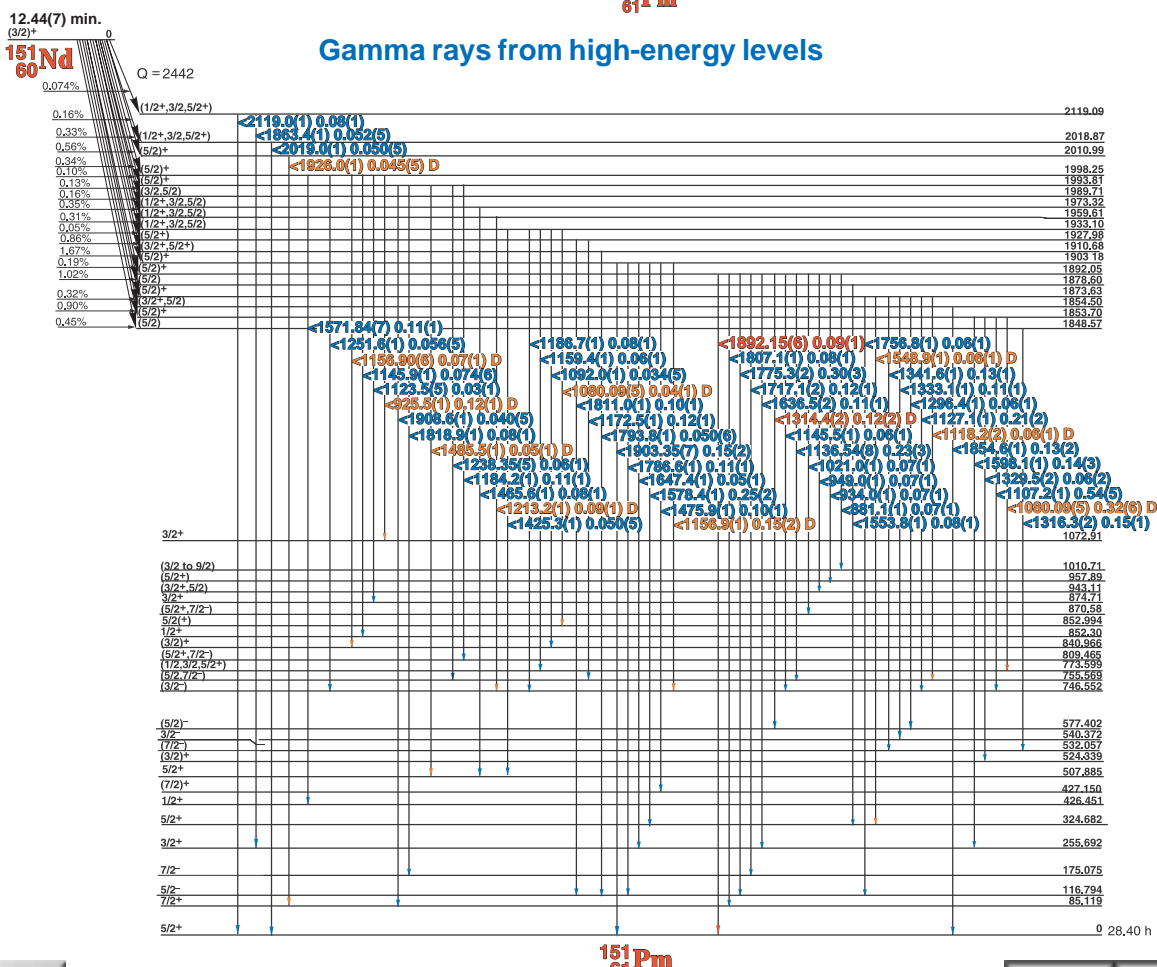
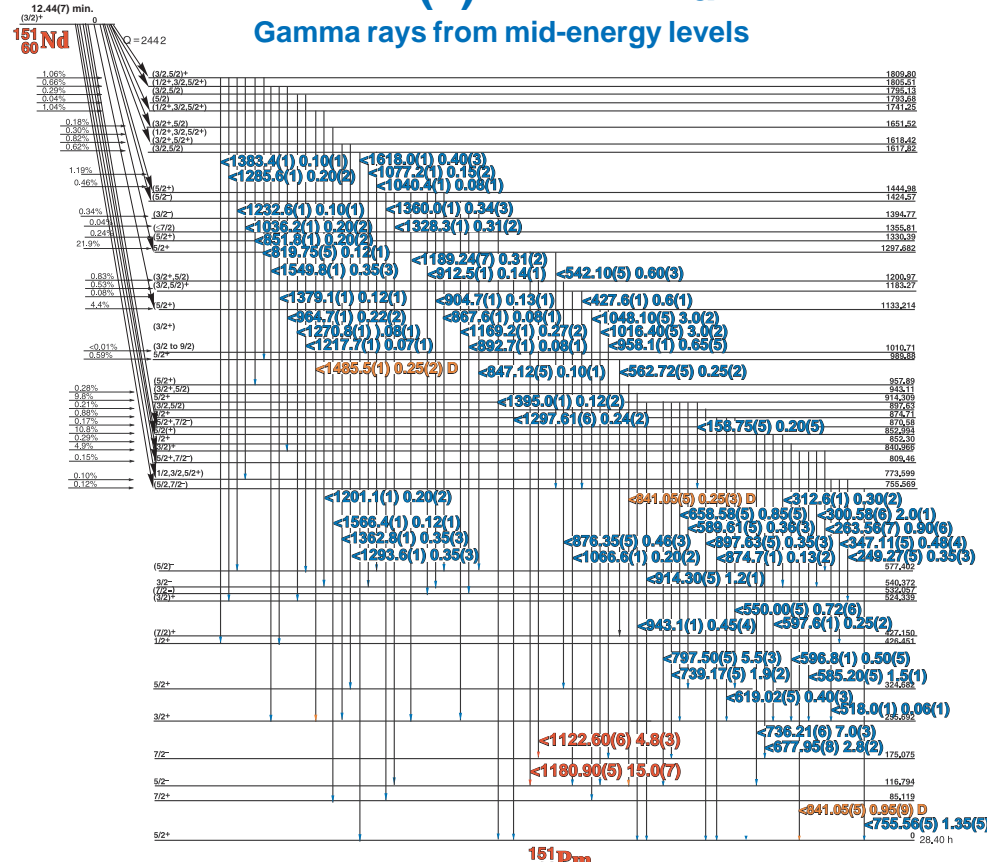


12.44(7) min. ^{151}Nd



12.44(7) min. ^{151}Nd

Gamma rays from mid-energy levels



12.44(7) min. ^{151}Nd

GAMMA-RAY ENERGIES AND INTENSITIES

Nuclide ^{151}Nd
Detector 3" x 3" -2 NaI

Half Life 12.44(7) min.
Method of Production: $^{150}\text{Nd}(n,\gamma)$

E_{γ} (KeV)[S]	ΔE_{γ}	$I_{\gamma}(\text{rel})$	$I_{\gamma}(\%)[E]$	ΔI_{γ}	S
58.3	± 0.10	1.07	0.44	± 0.02	4
69.00	± 0.05	3.89	1.5	± 0.1	3
80.74	± 0.05		0.27	± 0.02	4
81.85	± 0.49	1.50		± 0.14	4
85.12	± 0.02	6.07	2.3	± 0.1	3
89.96	± 0.05	4.91	1.7	± 0.1	3
102.45	± 0.05		0.55	± 0.05	4
116.79	± 0.04	100	43	± 2.0	1
138.88	± 0.04	19.4	7.8	± 0.4	2
149.55	± 0.06	1.0	0.40	± 0.059	4
158.75	± 0.05	1.53	0.20	± 0.05	4
D170.75	± 0.03	10.4	3.6	± 0.3	3
175.07	± 0.05	18.8	7.0	± 0.3	2
176.1	± 0.1		0.30	± 0.05	4
183.18	± 0.04	1.1	0.50	± 0.02	4
197.26	± 0.02	0.83	0.24	± 0.01	4
199.70	± 0.04	0.92	0.33	± 0.03	4
208.0	± 0.1	0.95	0.050	± 0.005	4
D238.6	± 0.1		0.50	± 0.05	4
D239.6	± 0.1	2.54	0.4	± 0.1	4
249.27	± 0.05	0.49	0.35	± 0.03	4
255.69	± 0.04	40.8	17.0	± 0.8	1
263.56	± 0.07	2.05	0.90	± 0.06	4
300.58	± 0.08	4.85	2.0	± 0.1	3
312.6	± 0.1	0.77	0.30	± 0.02	4
320.10	± 0.05	1.9	0.75	± 0.07	4
324.65	± 0.05	1.47	0.6	± 0.1	4
332.76	± 0.04	1.9	0.80	± 0.04	4
347.11	± 0.05	1.2	0.48	± 0.04	4
357.00	± 0.05	1.2	0.45	± 0.02	4
402.33	± 0.06	4.32	1.5	± 0.30	3
407.53	± 0.02	1.4	0.58	± 0.02	4
D422.8	± 0.1		0.40	± 0.04	4
423.54	± 0.03	16.3	6.7	± 0.3	2
426.45	± 0.04	1.5	0.50	± 0.05	4
439.25	± 0.05	1.1	0.38	± 0.02	4
460.58	± 0.05	2.3	0.99	± 0.05	4
524.31	± 0.02	1.3	0.56	± 0.05	4
531.99	± 0.03	0.49	0.12	± 0.01	4
542.10	± 0.05	1.4	0.60	± 0.03	4
550.00	± 0.05	2.15	0.72	± 0.06	4
562.72	± 0.05	0.64	0.25	± 0.02	4
577.38	± 0.05	0.80	0.37	± 0.03	4
585.20	± 0.05	3.35	1.5	± 0.10	4
589.61	± 0.05	0.92	0.36	± 0.03	4
596.8	± 0.1	1.80	0.50	± 0.05	4
597.6	± 0.1		0.25	± 0.02	4
619.02	± 0.05	1.1	0.40	± 0.03	4
658.58	± 0.05	2.0	0.85	± 0.05	4
670.39	± 0.06	0.67	0.40	± 0.04	4
677.95	± 0.08	6.81	2.8	± 0.20	3
736.21	± 0.06	18.2	7.0	± 0.3	3
739.17	± 0.05	5.25	1.9	± 0.2	4
755.56	± 0.06	3.31	1.35	± 0.07	4
797.50	± 0.06	14.3	5.5	± 0.3	2
819.75	± 0.05		0.12	± 0.01	4
D841.05	± 0.05	2.94	0.95	± 0.09	4
847.12	± 0.05		0.10	± 0.01	4
D853.00	± 0.05	1.29	0.35	± 0.03	4
874.7	± 0.1		0.13	± 0.02	4
867.6	± 0.1		0.08	± 0.01	4
876.35	± 0.05	1.47	0.46	± 0.03	4
892.7	± 0.1		0.08	± 0.01	4
897.63	± 0.05		0.35	± 0.03	4

E_{γ} (KeV)[S]	ΔE_{γ}	$I_{\gamma}(\text{rel})$	$I_{\gamma}(\%)[E]$	ΔI_{γ}	S
904.7	± 0.1		0.13	± 0.01	4
914.30	± 0.05	3.71	1.2	± 0.1	4
925.5	± 0.1	0.49	0.12	± 0.01	4
943.11	± 0.09	1.14	0.45	± 0.04	4
958.10	± 0.08	1.41	0.65	± 0.05	4
964.7	± 0.1		0.22	± 0.02	4
1016.40	± 0.05	8.60	3.0	± 0.2	3
1066.6	± 0.1		0.20	± 0.02	4
1048.10	± 0.05	2.06	3.0	± 0.17	4
1080.09	± 0.05	0.92	0.32	± 0.06	4
1107.20	± 0.11	1.35	0.54	± 0.05	4
1122.60	± 0.05	13.69	4.8	± 0.3	1
1123.5	± 0.1		0.03	± 0.01	4
1136.58	± 0.08	0.61	0.020	± 0.002	4
1156.90	± 0.06	0.64	0.07	± 0.01	4
1169.2	± 0.1	0.75	0.27	± 0.02	4
1180.90	± 0.06	45.0	15.0	± 0.7	1
1201.1	± 0.1	0.61	0.20	± 0.02	4
1213.2	± 0.1	0.28	0.09	± 0.01	4
1217.7	± 0.1	0.14	0.07	± 0.01	4
1232.6	± 0.1	0.34	0.10	± 0.01	4
1238.35	± 0.05	0.55	0.06	± 0.01	4
1270.8	± 0.1	0.58	0.08	± 0.01	4
1285.6	± 0.1	0.80	0.20	± 0.02	4
1293.6	± 0.1		0.35	± 0.03	4
1297.61	± 0.06		0.24	± 0.02	4
1314.4	± 0.1	0.95	0.12	± 0.02	4
1328.3	± 0.1	0.95	0.31	± 0.02	4
1360.0	± 0.1	0.46	0.34	± 0.03	3
1362.8	± 0.1	0.95	0.35	± 0.03	4
1379.1	± 0.1		0.12	± 0.01	4
1383.4	± 0.1		0.10	± 0.01	4
1395.0	± 0.1	0.34	0.12	± 0.01	4
1465.6	± 0.1	0.24	0.08	± 0.01	4
1475.9	± 0.1	0.34	0.11	± 0.01	4
1485.5	± 0.1	0.86	0.25	± 0.02	3
1549.9	± 0.1	1.10	0.35	± 0.02	3
1571.84	± 0.07		0.11	± 0.01	4
1578.4	± 0.1	0.64	0.25	± 0.02	4
1598.0	± 0.1	0.37	0.14	± 0.03	4
1618.0	± 0.1	1.26	0.40	± 0.03	3
1636.5	± 0.2	0.31	0.11	± 0.01	4
1647.4	± 0.1	0.16	0.05	± 0.01	4
1717.1	± 0.2	0.28	0.12	± 0.01	3
1731.9	± 0.1	0.15	0.06	± 0.01	3
1775.30	± 0.08	0.77	0.30	± 0.03	2
1793.8	± 0.1		0.05	± 0.01	4
1807.1	± 0.1	0.21	0.08	± 0.01	4
1811.0	± 0.1	0.21	0.10	± 0.01	4
1818.9	± 0.1	0.20	0.08	± 0.01	3
1863.4	± 0.1	0.13	0.052	± 0.05	3
1892.15	± 0.06	0.05	0.09	± 0.01	1
1903.35	± 0.07		0.15	± 0.02	3
1908.6	± 0.1	0.11	0.040	± 0.005	4
1926.0	± 0.1	0.13	0.045	± 0.005	3
1932.83	± 0.3	0.074	0.02	± 0.02	4
2019.0	± 0.1	0.11	0.050	± 0.005	2
2106.8	± 0.2	0.02	0.010	± 0.002	2
2119.0	± 0.1	0.08	0.01	± 0.01	2
2254.92	± 0.2	0.02	0.04	± 0.005	2